

Eingabe: Farbmetrisches Fernseh-Licht-System TLS00a

für Buntton  $h^* = lab^*h = 40/360 = 0.111$

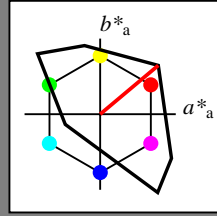
$lab^*tch$  und  $lab^*nch$

D65: Buntton O

LCH\*Ma: 51 100 40

olv\*Ma: 1.0 0.0 0.0

Dreiecks-Helligkeit  $t^*$



TLS00a; adaptierte CIELAB-Daten

	$L^*=L^*_a$	$a^*_a$	$b^*_a$	$C^*_{ab,a}$	$h^*_{ab,a}$
O <sub>Ma</sub>	50.5	76.91	64.55	100.41	40
Y <sub>Ma</sub>	92.66	-20.67	90.75	93.08	103
L <sub>Ma</sub>	83.62	-82.73	79.9	115.02	136
C <sub>Ma</sub>	86.88	-46.14	-13.53	48.1	196
V <sub>Ma</sub>	30.39	76.06	-103.59	128.52	306
M <sub>Ma</sub>	57.31	94.35	-58.39	110.96	328
N <sub>Ma</sub>	0.01	0.0	0.0	0.0	0
W <sub>Ma</sub>	95.41	0.0	0.0	0.0	0
RCIE	39.92	58.74	27.99	65.07	25
JCIE	81.26	-2.88	71.56	71.62	92
GCIE	52.23	-42.41	13.6	44.55	162
BCIE	30.57	1.41	-46.46	46.49	272

%Umfang  
 $u^*_{rel} = 158$   
 %Regularität  
 $g^*_{H,rel} = 20$   
 $g^*_{C,rel} = 37$

Ausgabe: Farbmetrisches Fernseh-Licht-System TLS00a

für Buntton  $h^* = lab^*h = 40/360 = 0.111$

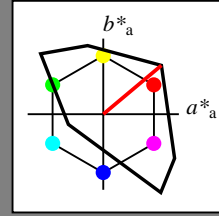
$lab^*tch$  und  $lab^*nch$

D65: Buntton O

LCH\*Ma: 51 100 40

olv\*Ma: 1.0 0.0 0.0

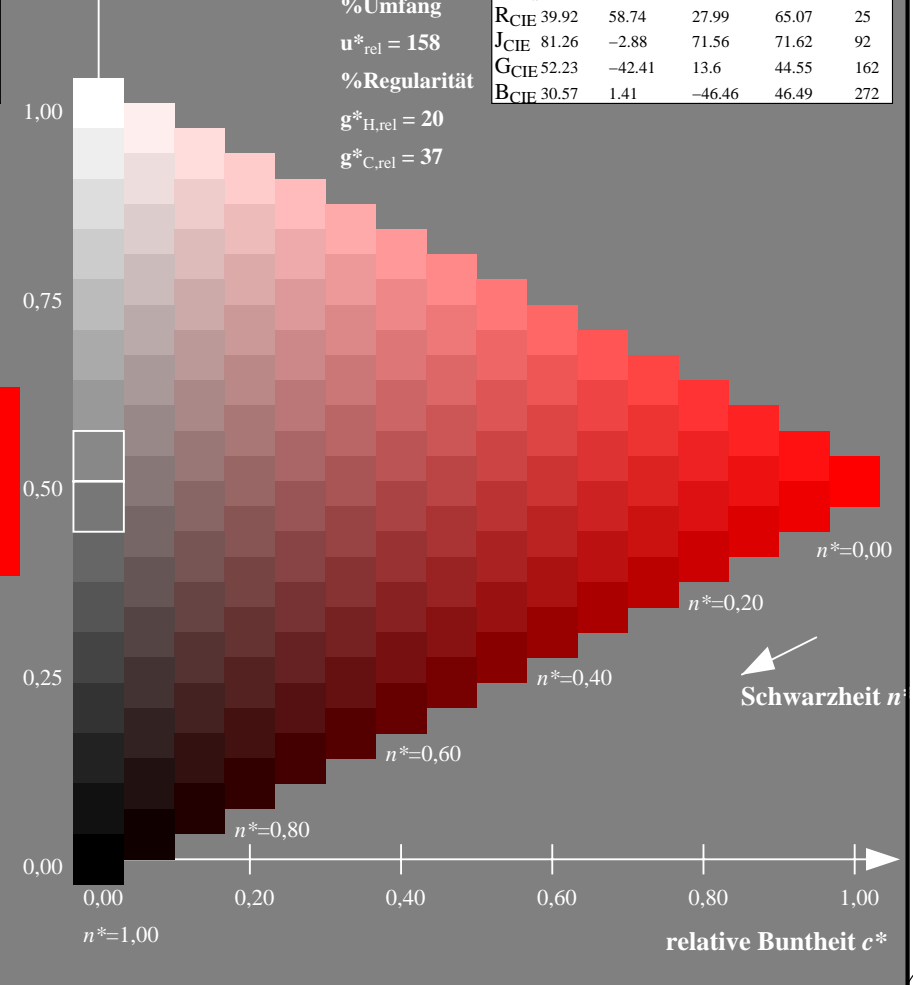
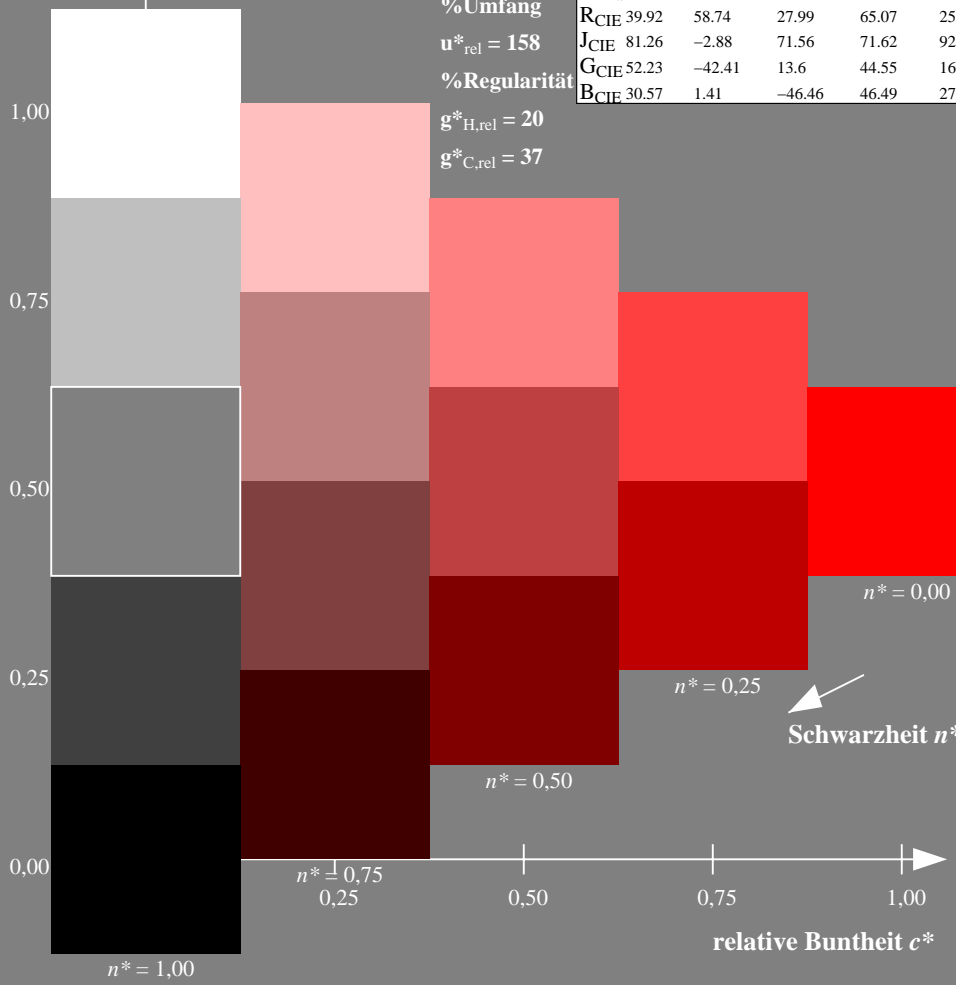
Dreiecks-Helligkeit  $t^*$



TLS00a; adaptierte CIELAB-Daten

	$L^*=L^*_a$	$a^*_a$	$b^*_a$	$C^*_{ab,a}$	$h^*_{ab,a}$
O <sub>Ma</sub>	50.5	76.91	64.55	100.41	40
Y <sub>Ma</sub>	92.66	-20.67	90.75	93.08	103
L <sub>Ma</sub>	83.62	-82.73	79.9	115.02	136
C <sub>Ma</sub>	86.88	-46.14	-13.53	48.1	196
V <sub>Ma</sub>	30.39	76.06	-103.59	128.52	306
M <sub>Ma</sub>	57.31	94.35	-58.39	110.96	328
N <sub>Ma</sub>	0.01	0.0	0.0	0.0	0
W <sub>Ma</sub>	95.41	0.0	0.0	0.0	0
RCIE	39.92	58.74	27.99	65.07	25
JCIE	81.26	-2.88	71.56	71.62	92
GCIE	52.23	-42.41	13.6	44.55	162
BCIE	30.57	1.41	-46.46	46.49	272

%Umfang  
 $u^*_{rel} = 158$   
 %Regularität  
 $g^*_{H,rel} = 20$   
 $g^*_{C,rel} = 37$



IG400-7N, 5-stufige Reihen für konstanten CIELAB Buntton 40/360 = 0.111 (links)

16-stufige Reihen für konstanten CIELAB Buntton 40/360 = 0.111 (rechts)

Siehe Original/Kopie: <http://web.me.com/klaus.richter/IG40/IG40L0NA.PS /.TXT>  
 Technische Information: <http://www.ps.bam.de oder http://130.149.60.45/~farbmetrik>

TUB-Registrierung: 20090901-IG40/IG40L0NA.PS /.TXT  
 Anwendung für Ausgabe von visuellen Display-Systemen  
 TUB-Material: Code=rh4ta

Eingabe: Farbmetrisches Fernseh-Licht-System TLS00a

für Buntton  $h^* = lab^*h = 103/360 = 0.286$

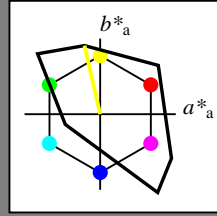
$lab^*tch$  und  $lab^*nch$

D65: Buntton Y

LCH\*Ma: 93 93 103

olv\*Ma: 1.0 1.0 0.0

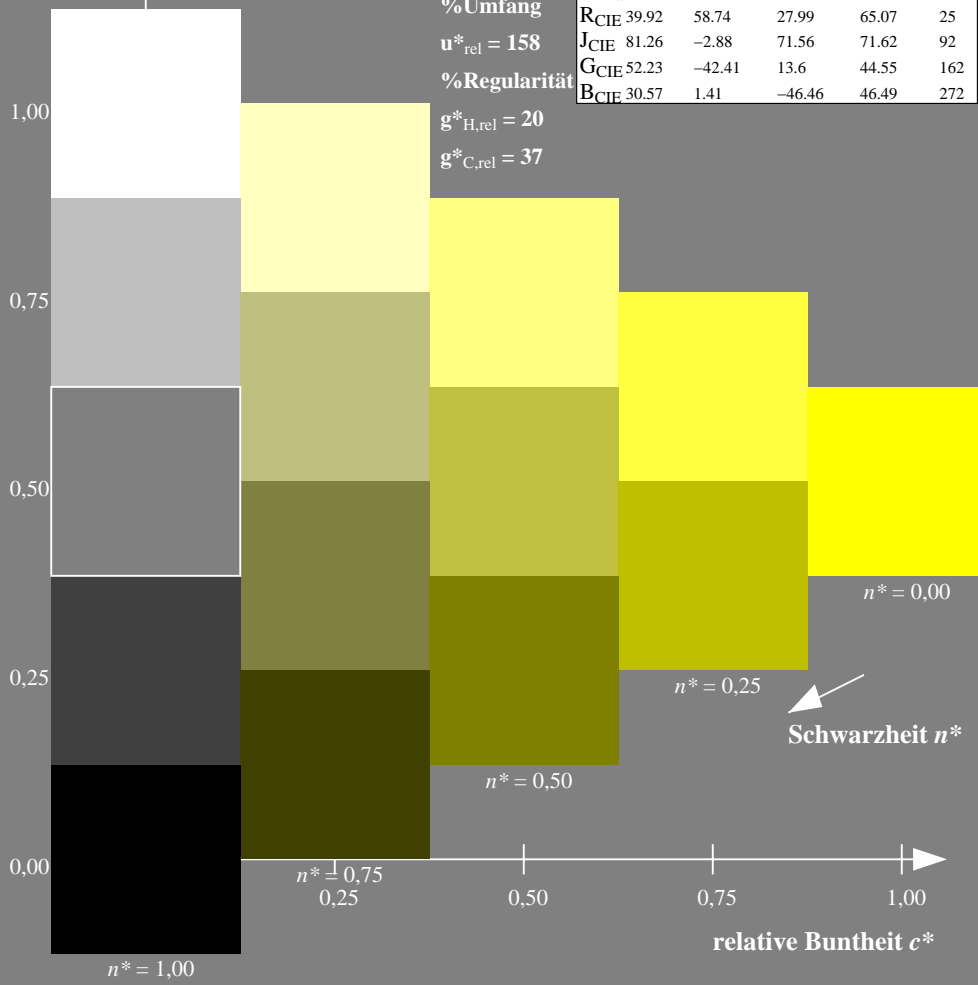
Dreiecks-Helligkeit  $t^*$



TLS00a; adaptierte CIELAB-Daten

	$L^*=L^*_a$	$a^*_a$	$b^*_a$	$C^*_{ab,a}$	$h^*_{ab,a}$
O <sub>Ma</sub>	50.5	76.91	64.55	100.41	40
Y <sub>Ma</sub>	92.66	-20.67	90.75	93.08	103
L <sub>Ma</sub>	83.62	-82.73	79.9	115.02	136
C <sub>Ma</sub>	86.88	-46.14	-13.53	48.1	196
V <sub>Ma</sub>	30.39	76.06	-103.59	128.52	306
M <sub>Ma</sub>	57.31	94.35	-58.39	110.96	328
N <sub>Ma</sub>	0.01	0.0	0.0	0.0	0
W <sub>Ma</sub>	95.41	0.0	0.0	0.0	0
RCIE	39.92	58.74	27.99	65.07	25
JCIE	81.26	-2.88	71.56	71.62	92
GCIE	52.23	-42.41	13.6	44.55	162
BCIE	30.57	1.41	-46.46	46.49	272

%Umfang  
 $u^*_{rel} = 158$   
 %Regularität  
 $g^*_{H,rel} = 20$   
 $g^*_{C,rel} = 37$



Ausgabe: Farbmetrisches Fernseh-Licht-System TLS00a

für Buntton  $h^* = lab^*h = 103/360 = 0.286$

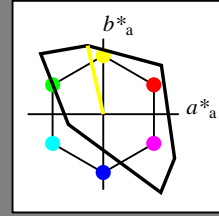
$lab^*tch$  und  $lab^*nch$

D65: Buntton Y

LCH\*Ma: 93 93 103

olv\*Ma: 1.0 1.0 0.0

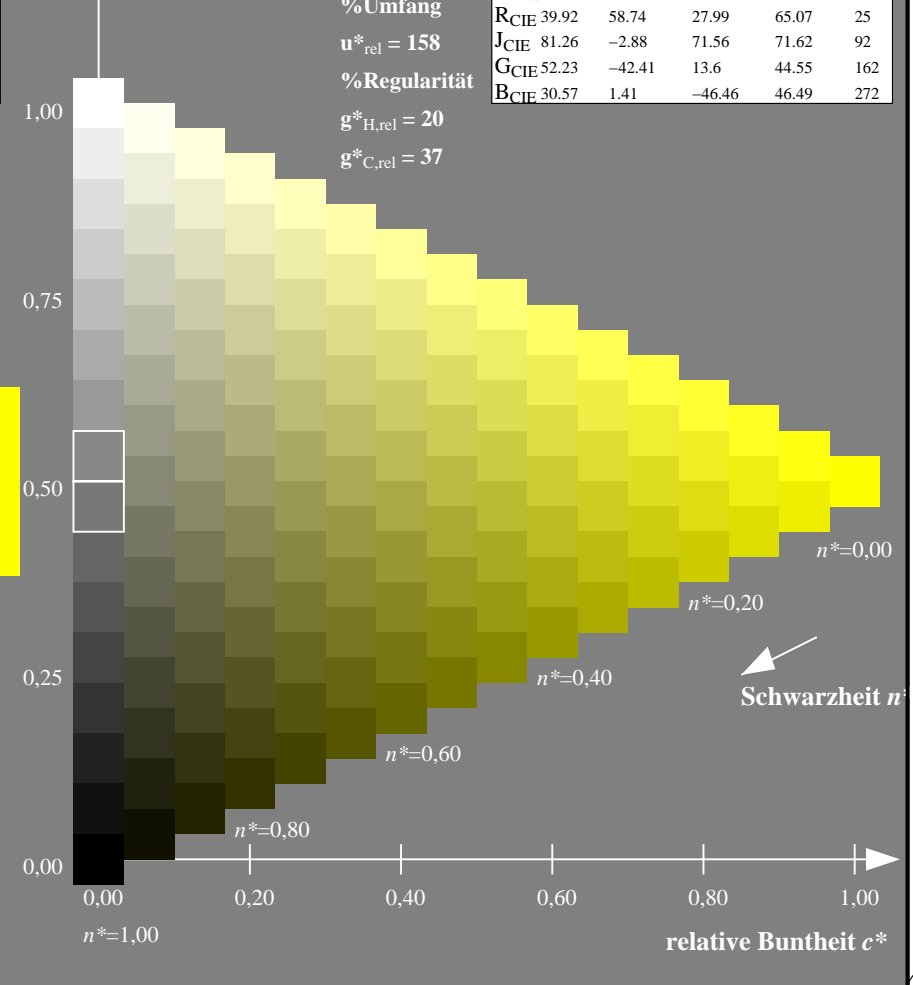
Dreiecks-Helligkeit  $t^*$



TLS00a; adaptierte CIELAB-Daten

	$L^*=L^*_a$	$a^*_a$	$b^*_a$	$C^*_{ab,a}$	$h^*_{ab,a}$
O <sub>Ma</sub>	50.5	76.91	64.55	100.41	40
Y <sub>Ma</sub>	92.66	-20.67	90.75	93.08	103
L <sub>Ma</sub>	83.62	-82.73	79.9	115.02	136
C <sub>Ma</sub>	86.88	-46.14	-13.53	48.1	196
V <sub>Ma</sub>	30.39	76.06	-103.59	128.52	306
M <sub>Ma</sub>	57.31	94.35	-58.39	110.96	328
N <sub>Ma</sub>	0.01	0.0	0.0	0.0	0
W <sub>Ma</sub>	95.41	0.0	0.0	0.0	0
RCIE	39.92	58.74	27.99	65.07	25
JCIE	81.26	-2.88	71.56	71.62	92
GCIE	52.23	-42.41	13.6	44.55	162
BCIE	30.57	1.41	-46.46	46.49	272

%Umfang  
 $u^*_{rel} = 158$   
 %Regularität  
 $g^*_{H,rel} = 20$   
 $g^*_{C,rel} = 37$



IG400-7N, 5-stufige Reihen für konstanten CIELAB Buntton 103/360 = 0.286 (links)

16-stufige Reihen für konstanten CIELAB Buntton 103/360 = 0.286 (rechts)

TUB-Registrierung: 20090901-IG40/IG40L0NA.PS /.TXT  
 Anwendung für Ausgabe von visuellen Display-Systemen

TUB-Material: Code=rh4ta

Siehe Original/Kopie: <http://web.me.com/klaus.richter/IG40/IG40L0NA.PS /.TXT>  
 Technische Information: <http://www.ps.bam.de> oder <http://130.149.60.45/~farbmetrik>

Eingabe: Farbmetrisches Fernseh-Licht-System TLS00a

für Buntton  $h^* = lab^*h = 136/360 = 0.378$

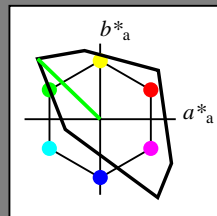
$lab^*tch$  und  $lab^*nch$

D65: Buntton L

LCH\*Ma: 84 115 136

olv\*Ma: 0.0 1.0 0.0

Dreiecks-Helligkeit  $t^*$



TLS00a; adaptierte CIELAB-Daten

	$L^*=L^*_a$	$a^*_a$	$b^*_a$	$C^*_{ab,a}$	$h^*_{ab,a}$
O <sub>Ma</sub>	50.5	76.91	64.55	100.41	40
Y <sub>Ma</sub>	92.66	-20.67	90.75	93.08	103
L <sub>Ma</sub>	83.62	-82.73	79.9	115.02	136
C <sub>Ma</sub>	86.88	-46.14	-13.53	48.1	196
V <sub>Ma</sub>	30.39	76.06	-103.59	128.52	306
M <sub>Ma</sub>	57.31	94.35	-58.39	110.96	328
N <sub>Ma</sub>	0.01	0.0	0.0	0.0	0
W <sub>Ma</sub>	95.41	0.0	0.0	0.0	0
RCIE	39.92	58.74	27.99	65.07	25
JCIE	81.26	-2.88	71.56	71.62	92
GCIE	52.23	-42.41	13.6	44.55	162
BCIE	30.57	1.41	-46.46	46.49	272

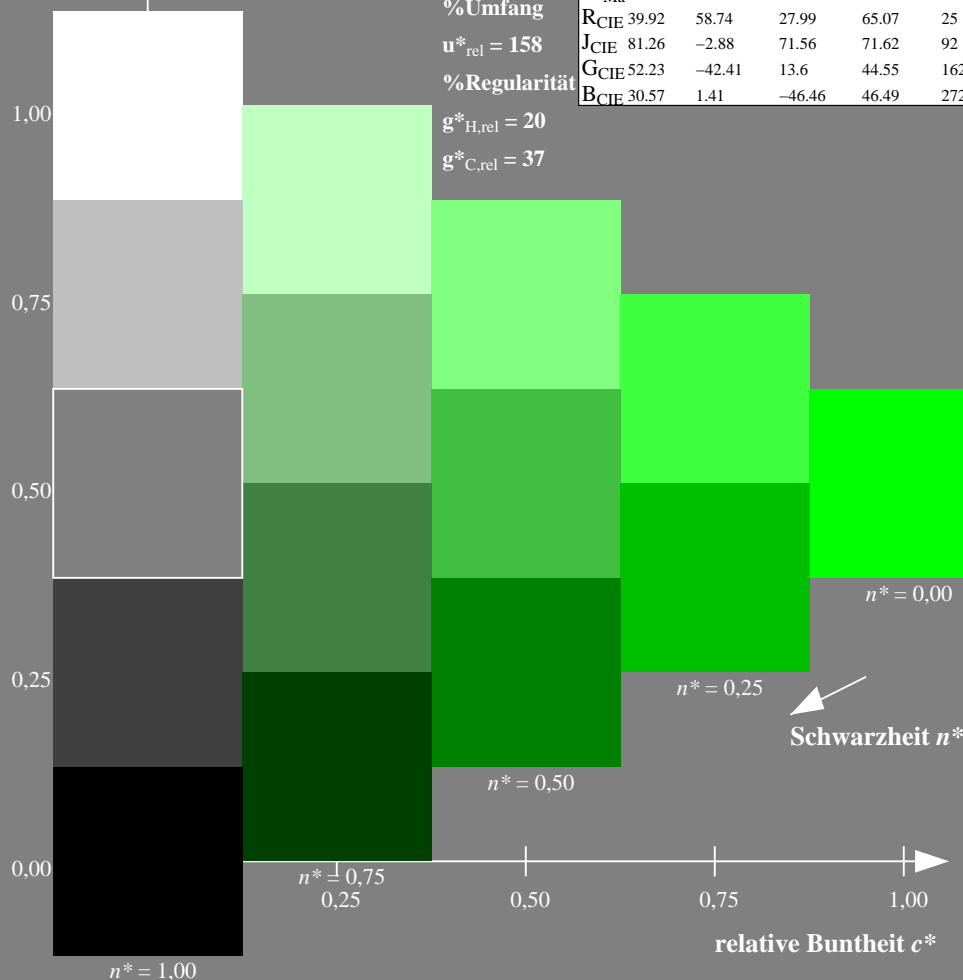
%Umfang

$u^*_{rel} = 158$

%Regularität

$g^*_{H,rel} = 20$

$g^*_{C,rel} = 37$



IG400-7N, 5-stufige Reihen für konstanten CIELAB Buntton 136/360 = 0.378 (links)

Ausgabe: Farbmetrisches Fernseh-Licht-System TLS00a

für Buntton  $h^* = lab^*h = 136/360 = 0.378$

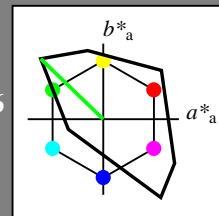
$lab^*tch$  und  $lab^*nch$

D65: Buntton L

LCH\*Ma: 84 115 136

olv\*Ma: 0.0 1.0 0.0

Dreiecks-Helligkeit  $t^*$



TLS00a; adaptierte CIELAB-Daten

	$L^*=L^*_a$	$a^*_a$	$b^*_a$	$C^*_{ab,a}$	$h^*_{ab,a}$
O <sub>Ma</sub>	50.5	76.91	64.55	100.41	40
Y <sub>Ma</sub>	92.66	-20.67	90.75	93.08	103
L <sub>Ma</sub>	83.62	-82.73	79.9	115.02	136
C <sub>Ma</sub>	86.88	-46.14	-13.53	48.1	196
V <sub>Ma</sub>	30.39	76.06	-103.59	128.52	306
M <sub>Ma</sub>	57.31	94.35	-58.39	110.96	328
N <sub>Ma</sub>	0.01	0.0	0.0	0.0	0
W <sub>Ma</sub>	95.41	0.0	0.0	0.0	0
RCIE	39.92	58.74	27.99	65.07	25
JCIE	81.26	-2.88	71.56	71.62	92
GCIE	52.23	-42.41	13.6	44.55	162
BCIE	30.57	1.41	-46.46	46.49	272

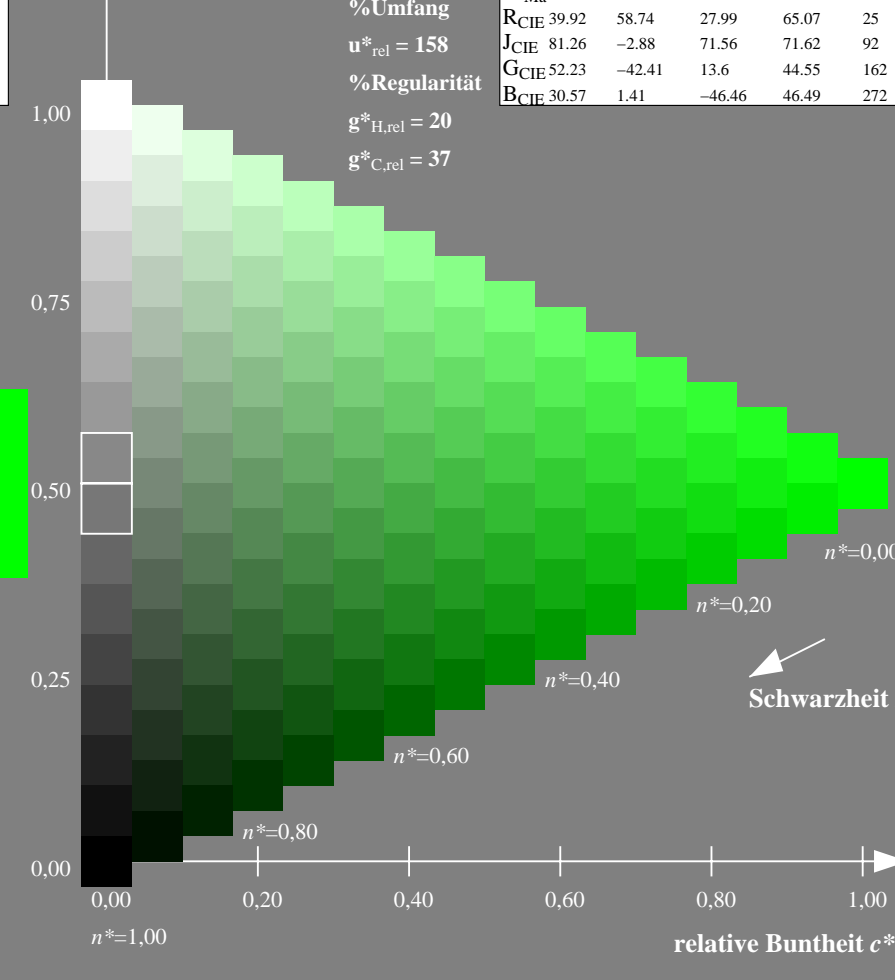
%Umfang

$u^*_{rel} = 158$

%Regularität

$g^*_{H,rel} = 20$

$g^*_{C,rel} = 37$



16-stufige Reihen für konstanten CIELAB Buntton 136/360 = 0.378 (rechts)

Eingabe: Farbmetrisches Fernseh-Licht-System TLS00a

für Buntton  $h^* = lab^*h = 196/360 = 0.545$

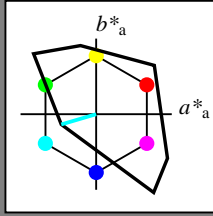
$lab^*tch$  und  $lab^*nch$

D65: Buntton C

LCH\*Ma: 87 48 196

olv\*Ma: 0.0 1.0 1.0

Dreiecks-Helligkeit  $t^*$



TLS00a; adaptierte CIELAB-Daten

	$L^*=L^*_a$	$a^*_a$	$b^*_a$	$C^*_{ab,a}$	$h^*_{ab,a}$
O <sub>Ma</sub>	50.5	76.91	64.55	100.41	40
Y <sub>Ma</sub>	92.66	-20.67	90.75	93.08	103
L <sub>Ma</sub>	83.62	-82.73	79.9	115.02	136
C <sub>Ma</sub>	86.88	-46.14	-13.53	48.1	196
V <sub>Ma</sub>	30.39	76.06	-103.59	128.52	306
M <sub>Ma</sub>	57.31	94.35	-58.39	110.96	328
N <sub>Ma</sub>	0.01	0.0	0.0	0.0	0
W <sub>Ma</sub>	95.41	0.0	0.0	0.0	0
RCIE	39.92	58.74	27.99	65.07	25
JCIE	81.26	-2.88	71.56	71.62	92
GCIE	52.23	-42.41	13.6	44.55	162
BCIE	30.57	1.41	-46.46	46.49	272

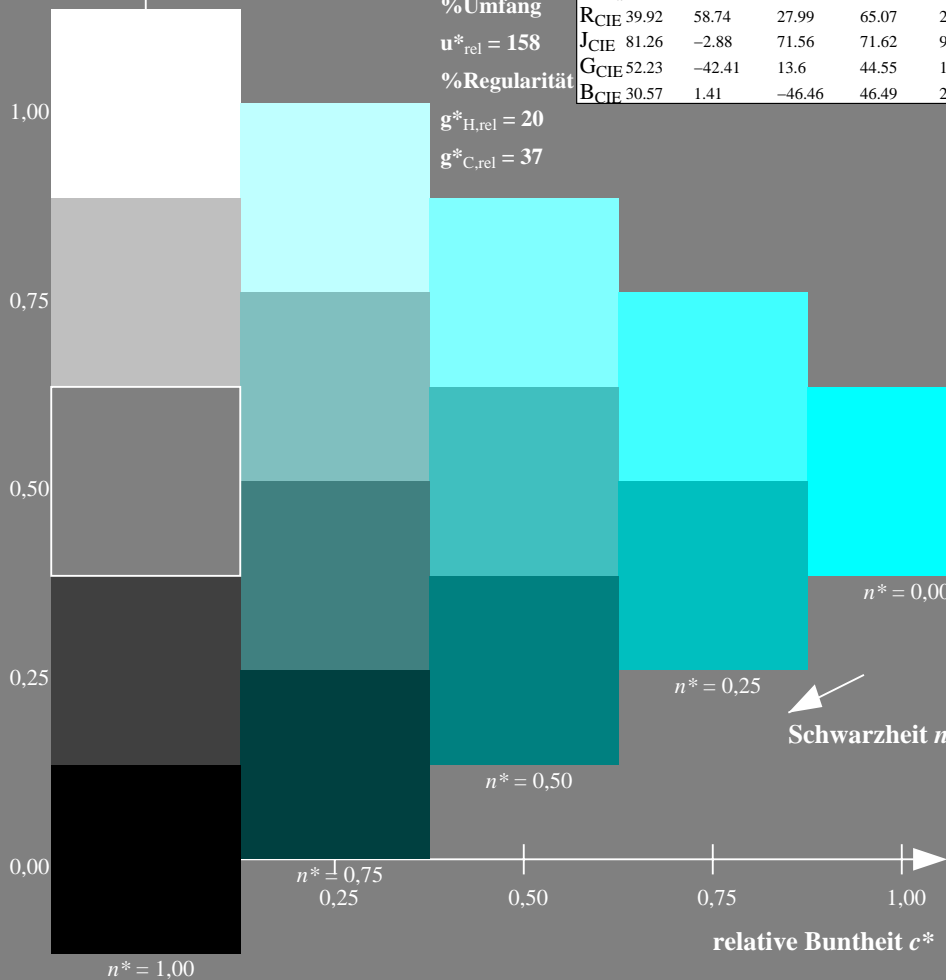
%Umfang

$u^*_{rel} = 158$

%Regularität

$g^*_{H,rel} = 20$

$g^*_{C,rel} = 37$



IG400-7N, 5-stufige Reihen für konstanten CIELAB Buntton 196/360 = 0.545 (links)

Ausgabe: Farbmetrisches Fernseh-Licht-System TLS00a

für Buntton  $h^* = lab^*h = 196/360 = 0.545$

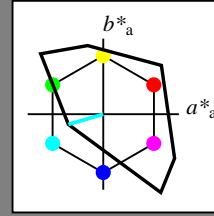
$lab^*tch$  und  $lab^*nch$

D65: Buntton C

LCH\*Ma: 87 48 196

olv\*Ma: 0.0 1.0 1.0

Dreiecks-Helligkeit  $t^*$



TLS00a; adaptierte CIELAB-Daten

	$L^*=L^*_a$	$a^*_a$	$b^*_a$	$C^*_{ab,a}$	$h^*_{ab,a}$
O <sub>Ma</sub>	50.5	76.91	64.55	100.41	40
Y <sub>Ma</sub>	92.66	-20.67	90.75	93.08	103
L <sub>Ma</sub>	83.62	-82.73	79.9	115.02	136
C <sub>Ma</sub>	86.88	-46.14	-13.53	48.1	196
V <sub>Ma</sub>	30.39	76.06	-103.59	128.52	306
M <sub>Ma</sub>	57.31	94.35	-58.39	110.96	328
N <sub>Ma</sub>	0.01	0.0	0.0	0.0	0
W <sub>Ma</sub>	95.41	0.0	0.0	0.0	0
RCIE	39.92	58.74	27.99	65.07	25
JCIE	81.26	-2.88	71.56	71.62	92
GCIE	52.23	-42.41	13.6	44.55	162
BCIE	30.57	1.41	-46.46	46.49	272

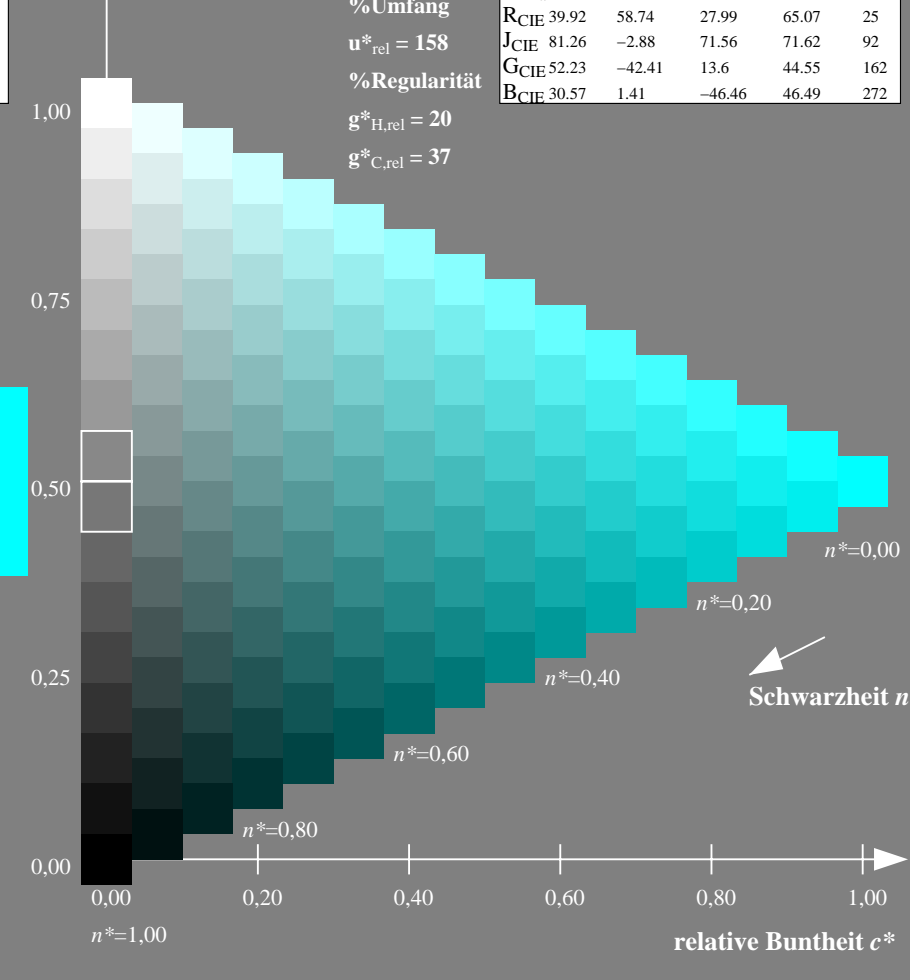
%Umfang

$u^*_{rel} = 158$

%Regularität

$g^*_{H,rel} = 20$

$g^*_{C,rel} = 37$



16-stufige Reihen für konstanten CIELAB Buntton 196/360 = 0.545 (rechts)

Eingabe: Farbmetrisches Fernseh-Licht-System TLS00a

für Buntton  $h^* = lab^*h = 306/360 = 0.851$

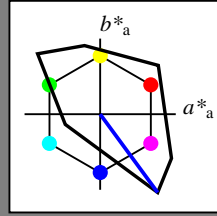
$lab^*tch$  und  $lab^*nch$

D65: Buntton V

LCH\*Ma: 30 129 306

olv\*Ma: 0.0 0.0 1.0

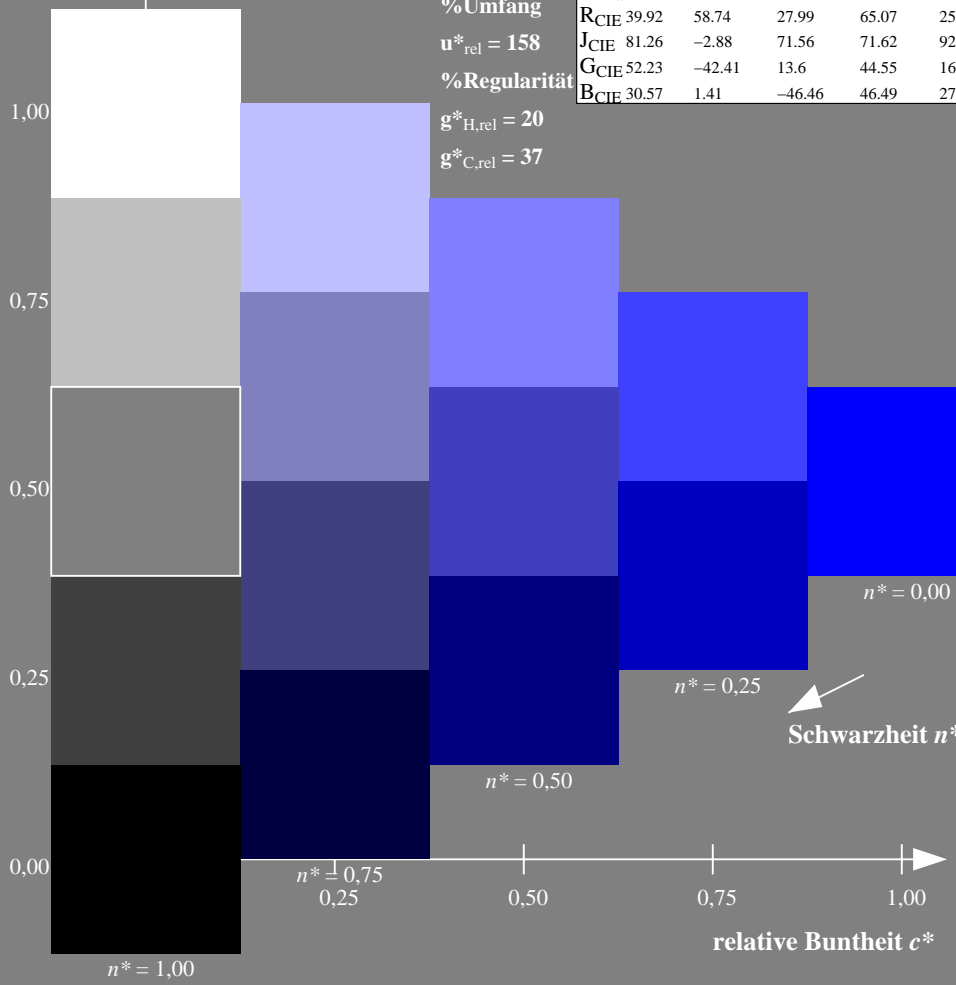
Dreiecks-Helligkeit  $t^*$



TLS00a; adaptierte CIELAB-Daten

	$L^*=L^*_a$	$a^*_a$	$b^*_a$	$C^*_{ab,a}$	$h^*_{ab,a}$
O <sub>Ma</sub>	50.5	76.91	64.55	100.41	40
Y <sub>Ma</sub>	92.66	-20.67	90.75	93.08	103
L <sub>Ma</sub>	83.62	-82.73	79.9	115.02	136
C <sub>Ma</sub>	86.88	-46.14	-13.53	48.1	196
V <sub>Ma</sub>	30.39	76.06	-103.59	128.52	306
M <sub>Ma</sub>	57.31	94.35	-58.39	110.96	328
N <sub>Ma</sub>	0.01	0.0	0.0	0.0	0
W <sub>Ma</sub>	95.41	0.0	0.0	0.0	0
RCIE	39.92	58.74	27.99	65.07	25
JCIE	81.26	-2.88	71.56	71.62	92
GCIE	52.23	-42.41	13.6	44.55	162
BCIE	30.57	1.41	-46.46	46.49	272

%Umfang  
 $u^*_{rel} = 158$   
 %Regularität  
 $g^*_{H,rel} = 20$   
 $g^*_{C,rel} = 37$



Ausgabe: Farbmetrisches Fernseh-Licht-System TLS00a

für Buntton  $h^* = lab^*h = 306/360 = 0.851$

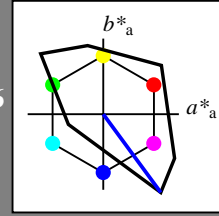
$lab^*tch$  und  $lab^*nch$

D65: Buntton V

LCH\*Ma: 30 129 306

olv\*Ma: 0.0 0.0 1.0

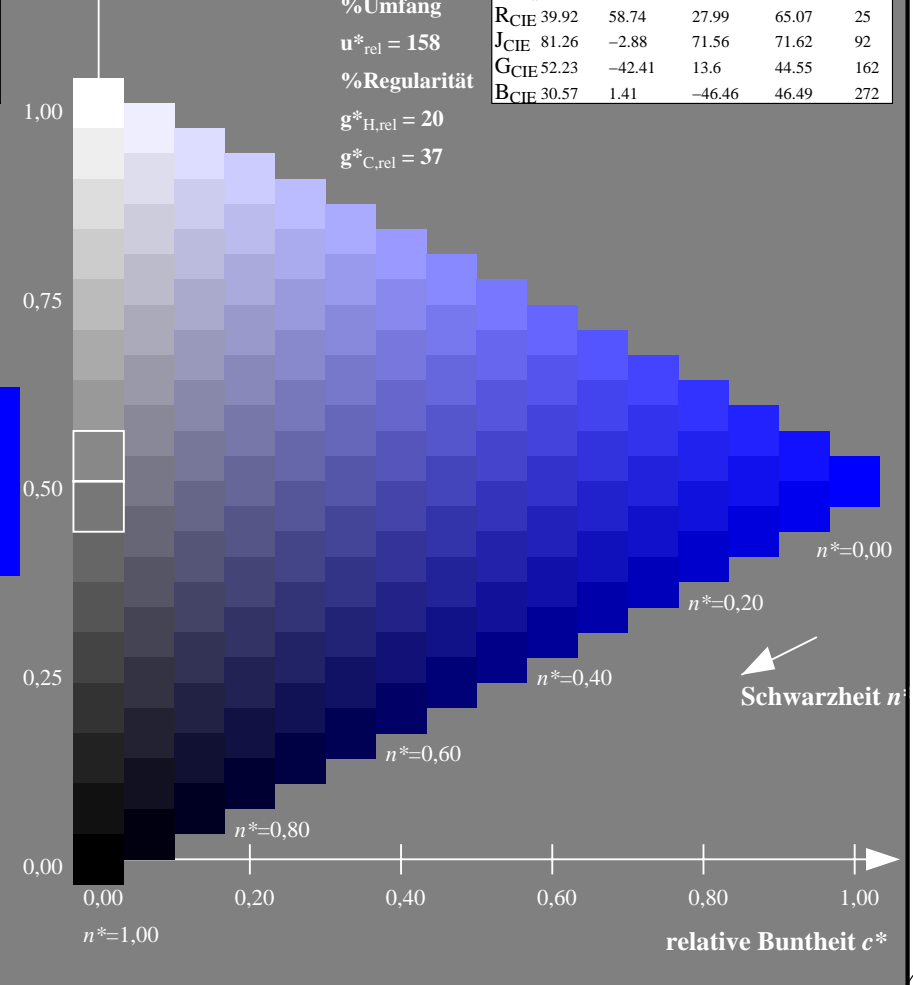
Dreiecks-Helligkeit  $t^*$



TLS00a; adaptierte CIELAB-Daten

	$L^*=L^*_a$	$a^*_a$	$b^*_a$	$C^*_{ab,a}$	$h^*_{ab,a}$
O <sub>Ma</sub>	50.5	76.91	64.55	100.41	40
Y <sub>Ma</sub>	92.66	-20.67	90.75	93.08	103
L <sub>Ma</sub>	83.62	-82.73	79.9	115.02	136
C <sub>Ma</sub>	86.88	-46.14	-13.53	48.1	196
V <sub>Ma</sub>	30.39	76.06	-103.59	128.52	306
M <sub>Ma</sub>	57.31	94.35	-58.39	110.96	328
N <sub>Ma</sub>	0.01	0.0	0.0	0.0	0
W <sub>Ma</sub>	95.41	0.0	0.0	0.0	0
RCIE	39.92	58.74	27.99	65.07	25
JCIE	81.26	-2.88	71.56	71.62	92
GCIE	52.23	-42.41	13.6	44.55	162
BCIE	30.57	1.41	-46.46	46.49	272

%Umfang  
 $u^*_{rel} = 158$   
 %Regularität  
 $g^*_{H,rel} = 20$   
 $g^*_{C,rel} = 37$



IG400-7N, 5-stufige Reihen für konstanten CIELAB Buntton 306/360 = 0.851 (links)

16-stufige Reihen für konstanten CIELAB Buntton 306/360 = 0.851 (rechts)

Siehe Original/Kopie: <http://web.me.com/klaus.richter/IG40/IG40L0NA.PS /.TXT>  
 Technische Information: <http://www.ps.bam.de oder http://130.149.60.45/~farbmetrik>

TUB-Registrierung: 20090901-IG40/IG40L0NA.PS /.TXT  
 Anwendung für Ausgabe von visuellen Display-Systemen  
 TUB-Material: Code=rh4ta

Eingabe: Farbmetrisches Fernseh-Licht-System TLS00a

für Buntton  $h^* = lab^*h = 328/360 = 0.912$

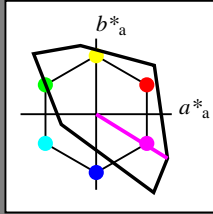
$lab^*tch$  und  $lab^*nch$

D65: Buntton M

LCH\*Ma: 57 111 328

olv\*Ma: 1.0 0.0 1.0

Dreiecks-Helligkeit  $t^*$



TLS00a; adaptierte CIELAB-Daten

	$L^*=L^*_a$	$a^*_a$	$b^*_a$	$C^*_{ab,a}$	$h^*_{ab,a}$
O <sub>Ma</sub>	50.5	76.91	64.55	100.41	40
Y <sub>Ma</sub>	92.66	-20.67	90.75	93.08	103
L <sub>Ma</sub>	83.62	-82.73	79.9	115.02	136
C <sub>Ma</sub>	86.88	-46.14	-13.53	48.1	196
V <sub>Ma</sub>	30.39	76.06	-103.59	128.52	306
M <sub>Ma</sub>	57.31	94.35	-58.39	110.96	328
N <sub>Ma</sub>	0.01	0.0	0.0	0.0	0
W <sub>Ma</sub>	95.41	0.0	0.0	0.0	0
RCIE	39.92	58.74	27.99	65.07	25
JCIE	81.26	-2.88	71.56	71.62	92
GCIE	52.23	-42.41	13.6	44.55	162
BCIE	30.57	1.41	-46.46	46.49	272

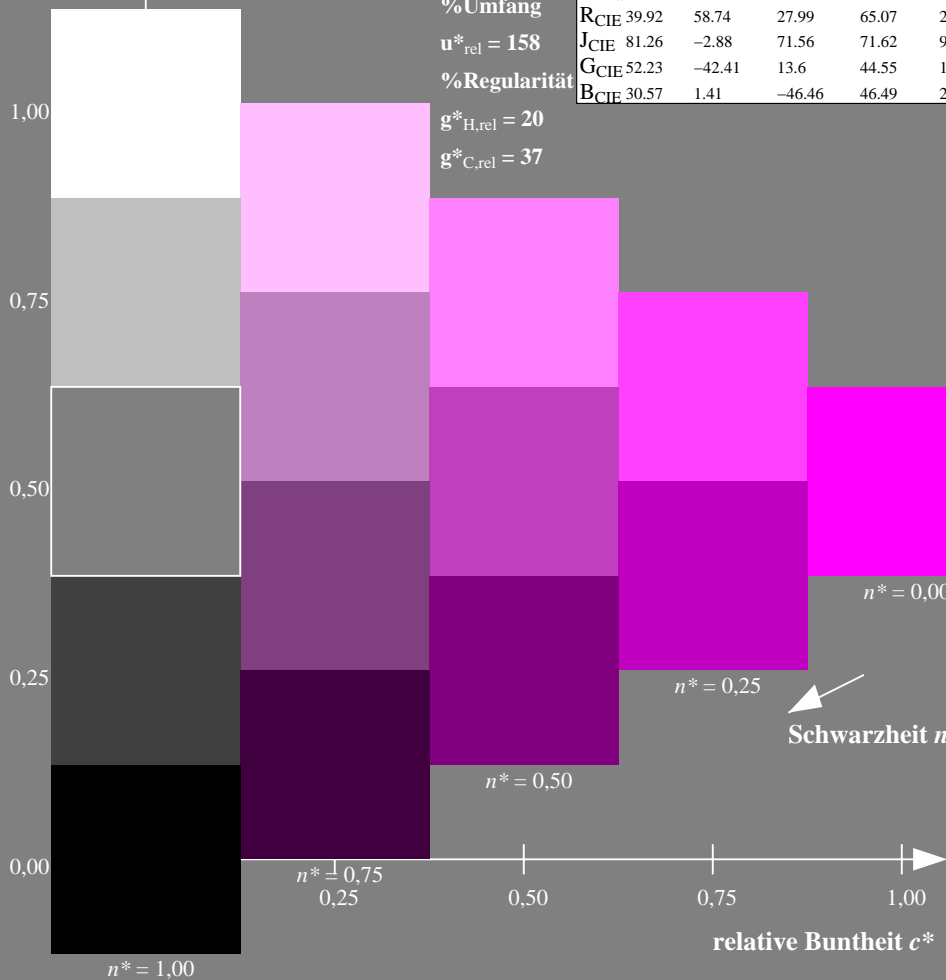
%Umfang

$u^*_{rel} = 158$

%Regularität

$g^*_{H,rel} = 20$

$g^*_{C,rel} = 37$



IG400-7N, 5-stufige Reihen für konstanten CIELAB Buntton 328/360 = 0.912 (links)

Ausgabe: Farbmetrisches Fernseh-Licht-System TLS00a

für Buntton  $h^* = lab^*h = 328/360 = 0.912$

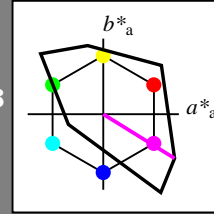
$lab^*tch$  und  $lab^*nch$

D65: Buntton M

LCH\*Ma: 57 111 328

olv\*Ma: 1.0 0.0 1.0

Dreiecks-Helligkeit  $t^*$



TLS00a; adaptierte CIELAB-Daten

	$L^*=L^*_a$	$a^*_a$	$b^*_a$	$C^*_{ab,a}$	$h^*_{ab,a}$
O <sub>Ma</sub>	50.5	76.91	64.55	100.41	40
Y <sub>Ma</sub>	92.66	-20.67	90.75	93.08	103
L <sub>Ma</sub>	83.62	-82.73	79.9	115.02	136
C <sub>Ma</sub>	86.88	-46.14	-13.53	48.1	196
V <sub>Ma</sub>	30.39	76.06	-103.59	128.52	306
M <sub>Ma</sub>	57.31	94.35	-58.39	110.96	328
N <sub>Ma</sub>	0.01	0.0	0.0	0.0	0
W <sub>Ma</sub>	95.41	0.0	0.0	0.0	0
RCIE	39.92	58.74	27.99	65.07	25
JCIE	81.26	-2.88	71.56	71.62	92
GCIE	52.23	-42.41	13.6	44.55	162
BCIE	30.57	1.41	-46.46	46.49	272

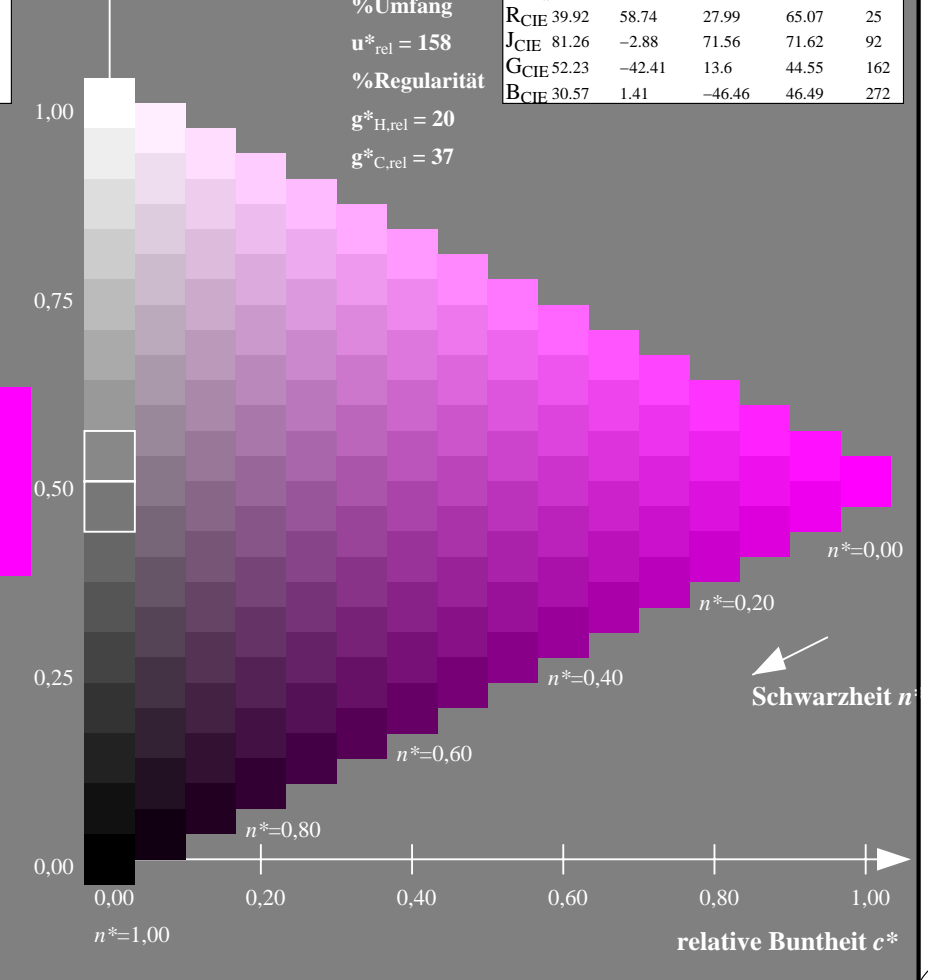
%Umfang

$u^*_{rel} = 158$

%Regularität

$g^*_{H,rel} = 20$

$g^*_{C,rel} = 37$



16-stufige Reihen für konstanten CIELAB Buntton 328/360 = 0.912 (rechts)

Eingabe: Farbmetrisches Fernseh-Licht-System TLS00a

für Buntton  $h^* = lab^*h = 25/360 = 0.071$

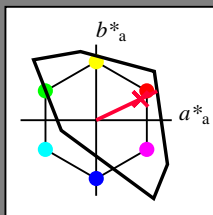
$lab^*tch$  und  $lab^*nch$

D65: Buntton R

LCH\*Ma: 52 89 25

olv\*Ma: 1.0 0.0 0.21

Dreiecks-Helligkeit  $t^*$



TLS00a; adaptierte CIELAB-Daten

	$L^*=L^*_a$	$a^*_a$	$b^*_a$	$C^*_{ab,a}$	$h^*_{ab,a}$
O <sub>Ma</sub>	50.5	76.91	64.55	100.41	40
Y <sub>Ma</sub>	92.66	-20.67	90.75	93.08	103
L <sub>Ma</sub>	83.62	-82.73	79.9	115.02	136
C <sub>Ma</sub>	86.88	-46.14	-13.53	48.1	196
V <sub>Ma</sub>	30.39	76.06	-103.59	128.52	306
M <sub>Ma</sub>	57.31	94.35	-58.39	110.96	328
N <sub>Ma</sub>	0.01	0.0	0.0	0.0	0
W <sub>Ma</sub>	95.41	0.0	0.0	0.0	0
RCIE	39.92	58.74	27.99	65.07	25
JCIE	81.26	-2.88	71.56	71.62	92
GCIE	52.23	-42.41	13.6	44.55	162
BCIE	30.57	1.41	-46.46	46.49	272

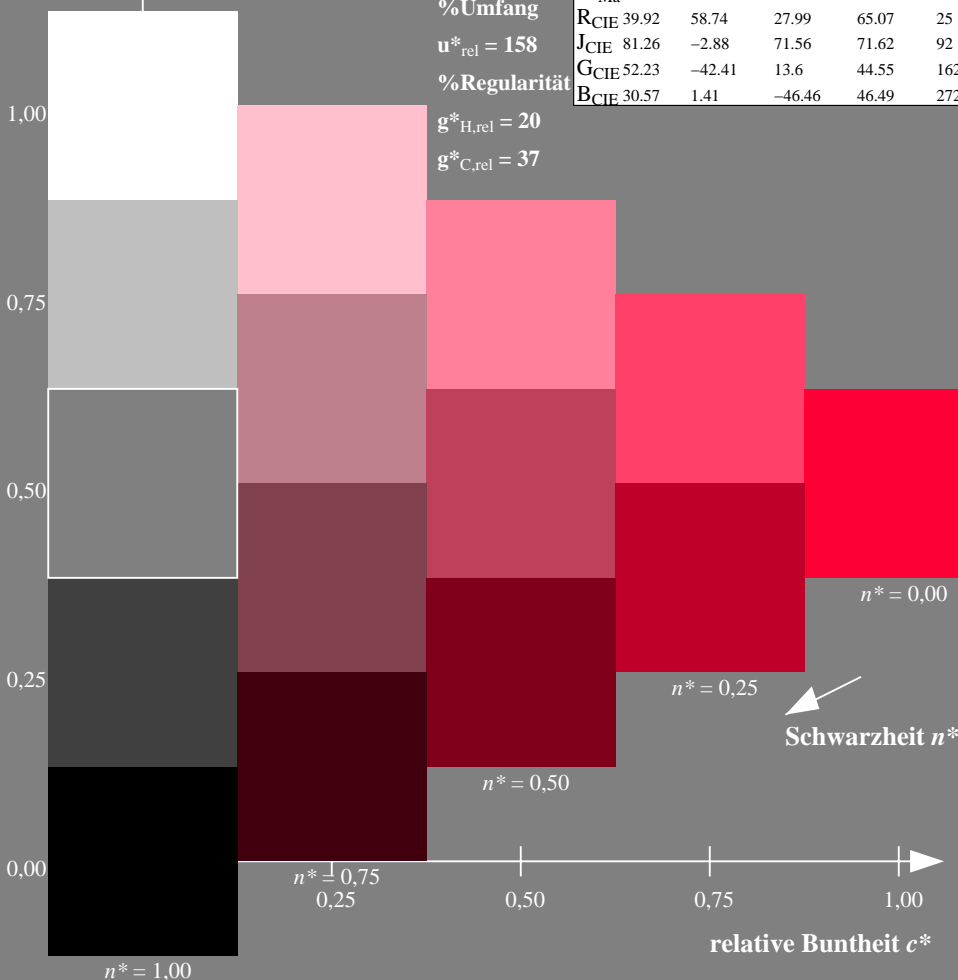
%Umfang

$u^*_{rel} = 158$

%Regularität

$g^*_{H,rel} = 20$

$g^*_{C,rel} = 37$



Ausgabe: Farbmetrisches Fernseh-Licht-System TLS00a

für Buntton  $h^* = lab^*h = 25/360 = 0.071$

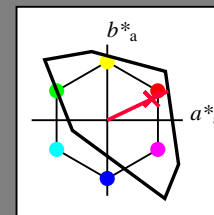
$lab^*tch$  und  $lab^*nch$

D65: Buntton R

LCH\*Ma: 52 89 25

olv\*Ma: 1.0 0.0 0.21

Dreiecks-Helligkeit  $t^*$



TLS00a; adaptierte CIELAB-Daten

	$L^*=L^*_a$	$a^*_a$	$b^*_a$	$C^*_{ab,a}$	$h^*_{ab,a}$
O <sub>Ma</sub>	50.5	76.91	64.55	100.41	40
Y <sub>Ma</sub>	92.66	-20.67	90.75	93.08	103
L <sub>Ma</sub>	83.62	-82.73	79.9	115.02	136
C <sub>Ma</sub>	86.88	-46.14	-13.53	48.1	196
V <sub>Ma</sub>	30.39	76.06	-103.59	128.52	306
M <sub>Ma</sub>	57.31	94.35	-58.39	110.96	328
N <sub>Ma</sub>	0.01	0.0	0.0	0.0	0
W <sub>Ma</sub>	95.41	0.0	0.0	0.0	0
RCIE	39.92	58.74	27.99	65.07	25
JCIE	81.26	-2.88	71.56	71.62	92
GCIE	52.23	-42.41	13.6	44.55	162
BCIE	30.57	1.41	-46.46	46.49	272

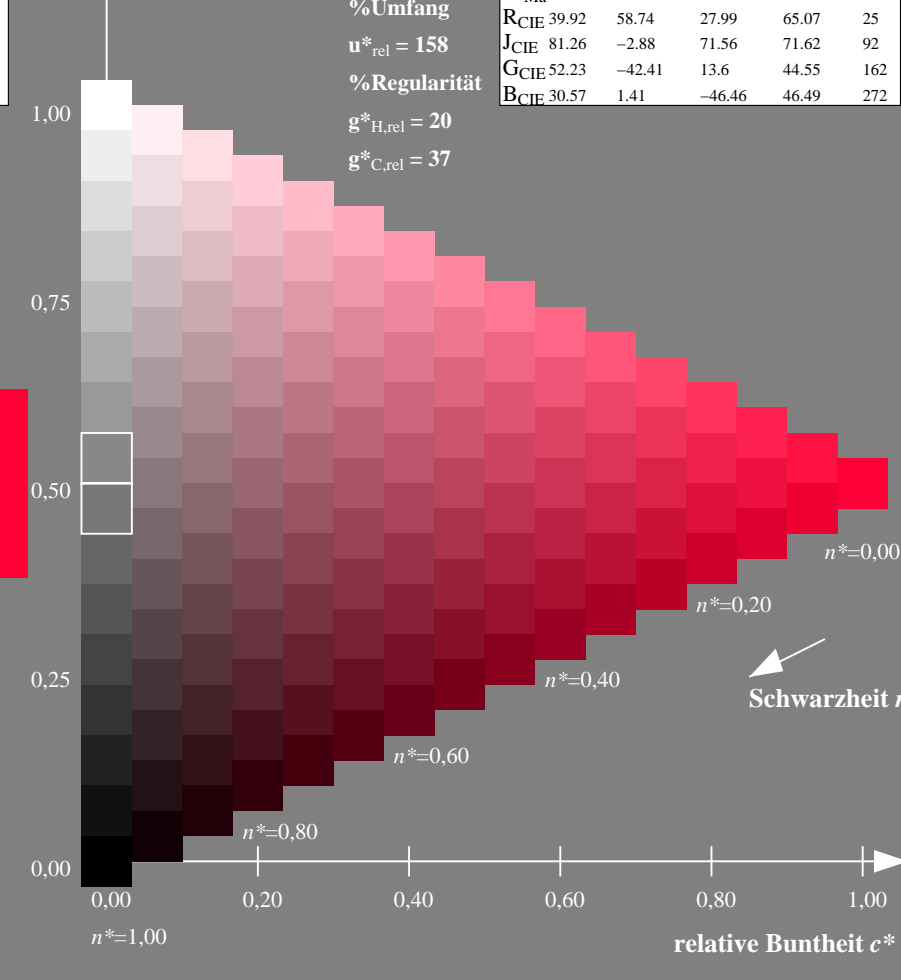
%Umfang

$u^*_{rel} = 158$

%Regularität

$g^*_{H,rel} = 20$

$g^*_{C,rel} = 37$



IG400-7N, 5-stufige Reihen für konstanten CIELAB Buntton 25/360 = 0.071 (links)

16-stufige Reihen für konstanten CIELAB Buntton 25/360 = 0.071 (rechts)

Eingabe: Farbmetrisches Fernseh-Licht-System TLS00a

für Buntton  $h^* = lab^*h = 92/360 = 0.256$

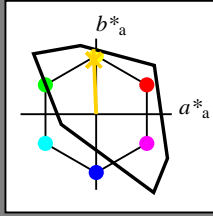
$lab^*tch$  und  $lab^*nch$

D65: Buntton J

LCH\*Ma: 85 86 92

olv\*Ma: 1.0 0.82 0.0

Dreiecks-Helligkeit  $t^*$



TLS00a; adaptierte CIELAB-Daten

	$L^*=L^*_a$	$a^*_a$	$b^*_a$	$C^*_{ab,a}$	$h^*_{ab,a}$
O <sub>Ma</sub>	50.5	76.91	64.55	100.41	40
Y <sub>Ma</sub>	92.66	-20.67	90.75	93.08	103
L <sub>Ma</sub>	83.62	-82.73	79.9	115.02	136
C <sub>Ma</sub>	86.88	-46.14	-13.53	48.1	196
V <sub>Ma</sub>	30.39	76.06	-103.59	128.52	306
M <sub>Ma</sub>	57.31	94.35	-58.39	110.96	328
N <sub>Ma</sub>	0.01	0.0	0.0	0.0	0
W <sub>Ma</sub>	95.41	0.0	0.0	0.0	0
RCIE	39.92	58.74	27.99	65.07	25
JCIE	81.26	-2.88	71.56	71.62	92
GCIE	52.23	-42.41	13.6	44.55	162
BCIE	30.57	1.41	-46.46	46.49	272

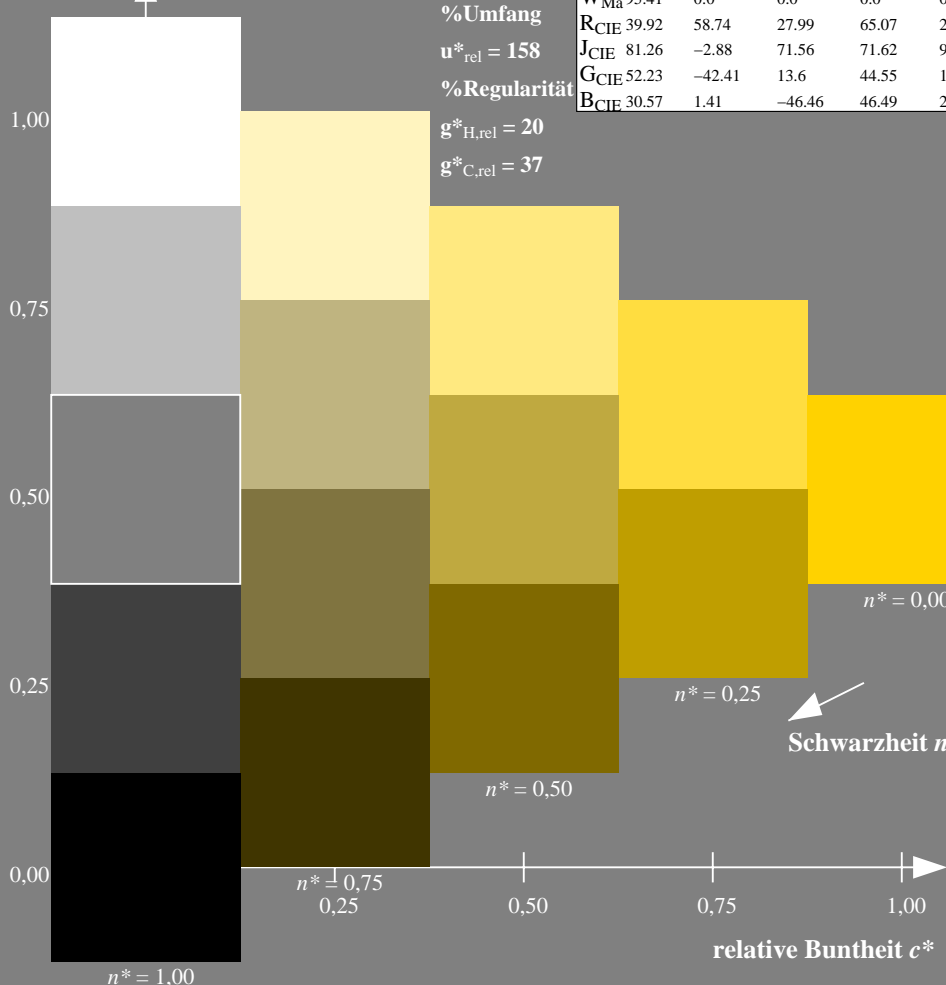
%Umfang

$u^*_{rel} = 158$

%Regularität

$g^*_{H,rel} = 20$

$g^*_{C,rel} = 37$



Ausgabe: Farbmetrisches Fernseh-Licht-System TLS00a

für Buntton  $h^* = lab^*h = 92/360 = 0.256$

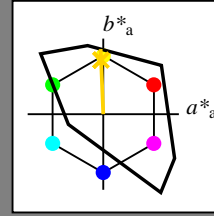
$lab^*tch$  und  $lab^*nch$

D65: Buntton J

LCH\*Ma: 85 86 92

olv\*Ma: 1.0 0.82 0.0

Dreiecks-Helligkeit  $t^*$



TLS00a; adaptierte CIELAB-Daten

	$L^*=L^*_a$	$a^*_a$	$b^*_a$	$C^*_{ab,a}$	$h^*_{ab,a}$
O <sub>Ma</sub>	50.5	76.91	64.55	100.41	40
Y <sub>Ma</sub>	92.66	-20.67	90.75	93.08	103
L <sub>Ma</sub>	83.62	-82.73	79.9	115.02	136
C <sub>Ma</sub>	86.88	-46.14	-13.53	48.1	196
V <sub>Ma</sub>	30.39	76.06	-103.59	128.52	306
M <sub>Ma</sub>	57.31	94.35	-58.39	110.96	328
N <sub>Ma</sub>	0.01	0.0	0.0	0.0	0
W <sub>Ma</sub>	95.41	0.0	0.0	0.0	0
RCIE	39.92	58.74	27.99	65.07	25
JCIE	81.26	-2.88	71.56	71.62	92
GCIE	52.23	-42.41	13.6	44.55	162
BCIE	30.57	1.41	-46.46	46.49	272

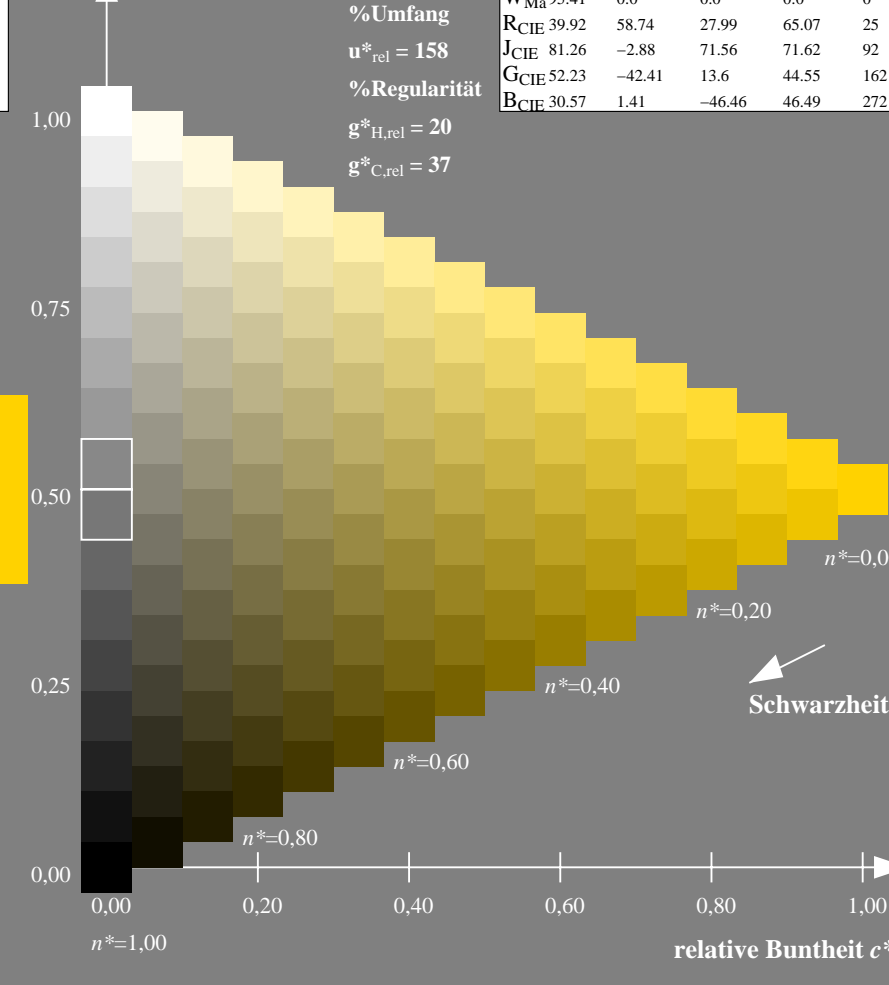
%Umfang

$u^*_{rel} = 158$

%Regularität

$g^*_{H,rel} = 20$

$g^*_{C,rel} = 37$



IG400-7N, 5-stufige Reihen für konstanten CIELAB Buntton 92/360 = 0.256 (links)

16-stufige Reihen für konstanten CIELAB Buntton 92/360 = 0.256 (rechts)

Siehe Original/Kopie: <http://web.me.com/klaus.richter/IG40/IG40L0NA.PS /.TXT>  
 Technische Information: <http://www.ps.bam.de> oder <http://130.149.60.45/~farbmetrik>

Eingabe: Farbmetrisches Fernseh-Licht-System TLS00a

für Buntton  $h^* = lab^*h = 162/360 = 0.451$

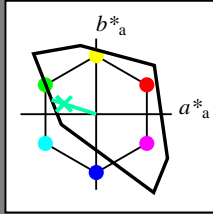
$lab^*tch$  und  $lab^*nch$

D65: Buntton G

LCH\*Ma: 86 62 162

olv\*Ma: 0.0 1.0 0.65

Dreiecks-Helligkeit  $t^*$



TLS00a; adaptierte CIELAB-Daten

	$L^*=L^*_a$	$a^*_a$	$b^*_a$	$C^*_{ab,a}$	$h^*_{ab,a}$
O <sub>Ma</sub>	50.5	76.91	64.55	100.41	40
Y <sub>Ma</sub>	92.66	-20.67	90.75	93.08	103
L <sub>Ma</sub>	83.62	-82.73	79.9	115.02	136
C <sub>Ma</sub>	86.88	-46.14	-13.53	48.1	196
V <sub>Ma</sub>	30.39	76.06	-103.59	128.52	306
M <sub>Ma</sub>	57.31	94.35	-58.39	110.96	328
N <sub>Ma</sub>	0.01	0.0	0.0	0.0	0
W <sub>Ma</sub>	95.41	0.0	0.0	0.0	0
RCIE	39.92	58.74	27.99	65.07	25
JCIE	81.26	-2.88	71.56	71.62	92
GCIE	52.23	-42.41	13.6	44.55	162
BCIE	30.57	1.41	-46.46	46.49	272

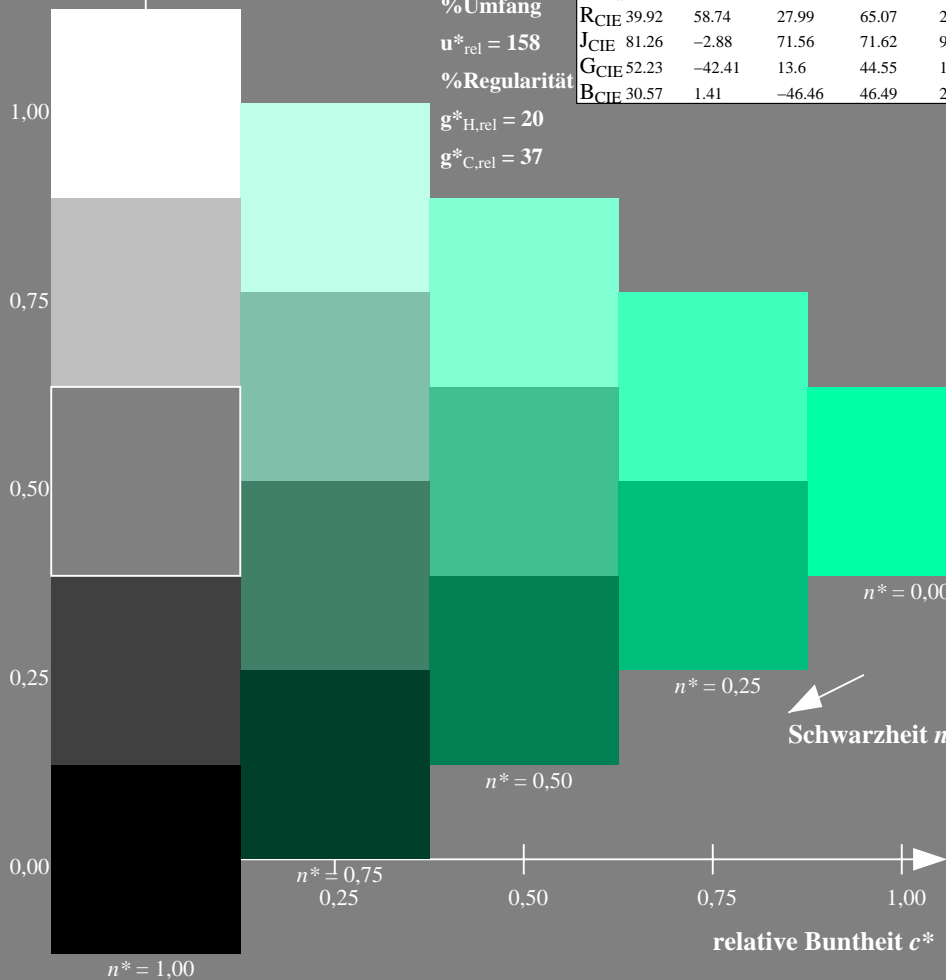
%Umfang

$u^*_{rel} = 158$

%Regularität

$g^*_{H,rel} = 20$

$g^*_{C,rel} = 37$



IG400-7N, 5-stufige Reihen für konstanten CIELAB Buntton 162/360 = 0.451 (links)

Ausgabe: Farbmetrisches Fernseh-Licht-System TLS00a

für Buntton  $h^* = lab^*h = 162/360 = 0.451$

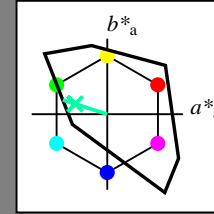
$lab^*tch$  und  $lab^*nch$

D65: Buntton G

LCH\*Ma: 86 62 162

olv\*Ma: 0.0 1.0 0.65

Dreiecks-Helligkeit  $t^*$



TLS00a; adaptierte CIELAB-Daten

	$L^*=L^*_a$	$a^*_a$	$b^*_a$	$C^*_{ab,a}$	$h^*_{ab,a}$
O <sub>Ma</sub>	50.5	76.91	64.55	100.41	40
Y <sub>Ma</sub>	92.66	-20.67	90.75	93.08	103
L <sub>Ma</sub>	83.62	-82.73	79.9	115.02	136
C <sub>Ma</sub>	86.88	-46.14	-13.53	48.1	196
V <sub>Ma</sub>	30.39	76.06	-103.59	128.52	306
M <sub>Ma</sub>	57.31	94.35	-58.39	110.96	328
N <sub>Ma</sub>	0.01	0.0	0.0	0.0	0
W <sub>Ma</sub>	95.41	0.0	0.0	0.0	0
RCIE	39.92	58.74	27.99	65.07	25
JCIE	81.26	-2.88	71.56	71.62	92
GCIE	52.23	-42.41	13.6	44.55	162
BCIE	30.57	1.41	-46.46	46.49	272

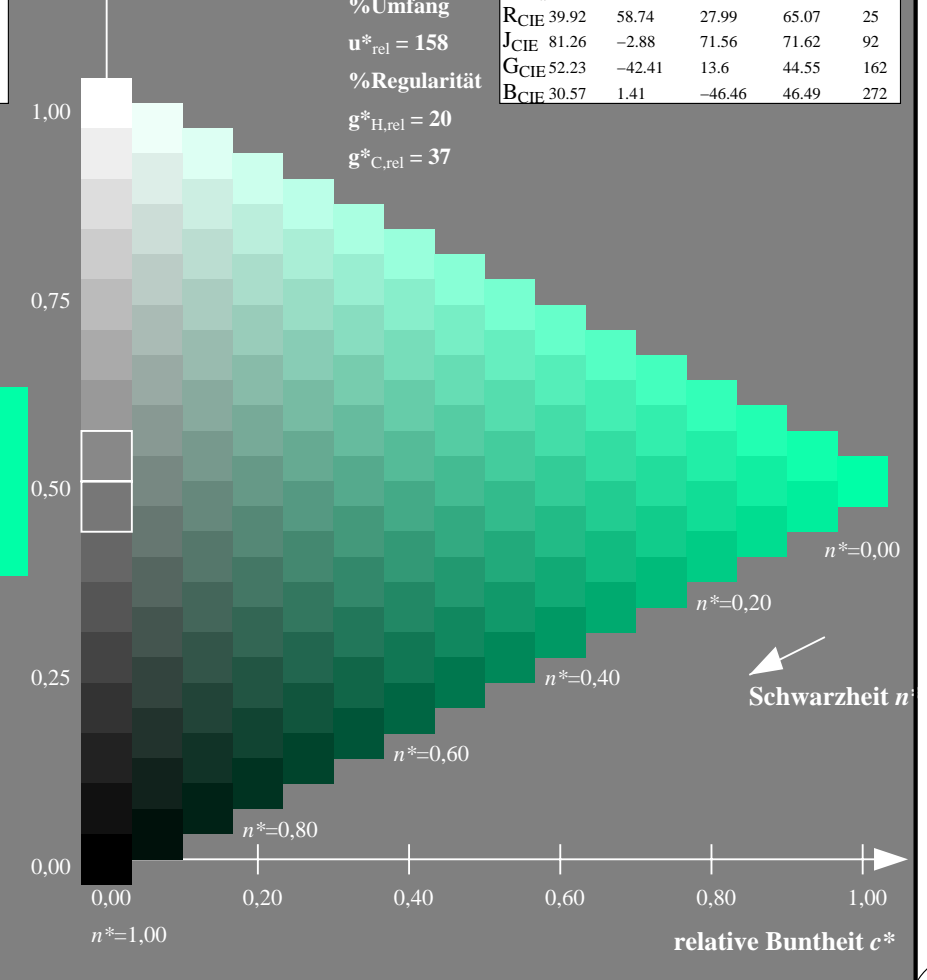
%Umfang

$u^*_{rel} = 158$

%Regularität

$g^*_{H,rel} = 20$

$g^*_{C,rel} = 37$



16-stufige Reihen für konstanten CIELAB Buntton 162/360 = 0.451 (rechts)

Eingabe: Farbmetrisches Fernseh-Licht-System TLS00a

für Buntton  $h^* = lab^*h = 272/360 = 0.755$

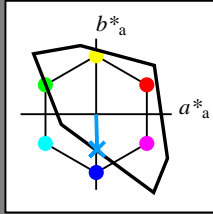
$lab^*tch$  und  $lab^*nch$

D65: Buntton B

LCH\*Ma: 65 49 272

olv\*Ma: 0.0 0.61 1.0

Dreiecks-Helligkeit  $t^*$



TLS00a; adaptierte CIELAB-Daten

	$L^*=L^*_a$	$a^*_a$	$b^*_a$	$C^*_{ab,a}$	$h^*_{ab,a}$
O <sub>Ma</sub>	50.5	76.91	64.55	100.41	40
Y <sub>Ma</sub>	92.66	-20.67	90.75	93.08	103
L <sub>Ma</sub>	83.62	-82.73	79.9	115.02	136
C <sub>Ma</sub>	86.88	-46.14	-13.53	48.1	196
V <sub>Ma</sub>	30.39	76.06	-103.59	128.52	306
M <sub>Ma</sub>	57.31	94.35	-58.39	110.96	328
N <sub>Ma</sub>	0.01	0.0	0.0	0.0	0
W <sub>Ma</sub>	95.41	0.0	0.0	0.0	0
RCIE	39.92	58.74	27.99	65.07	25
J <sub>CIE</sub>	81.26	-2.88	71.56	71.62	92
G <sub>CIE</sub>	52.23	-42.41	13.6	44.55	162
BCIE	30.57	1.41	-46.46	46.49	272

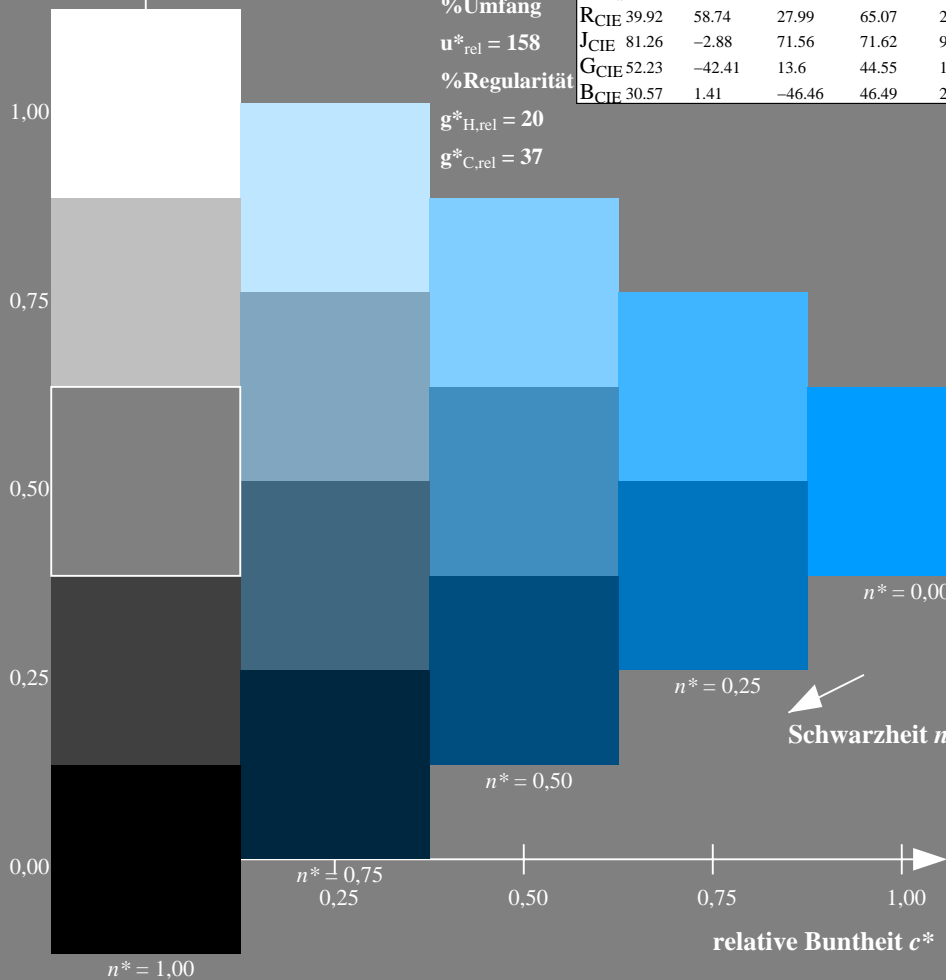
%Umfang

$u^*_{rel} = 158$

%Regularität

$g^*_{H,rel} = 20$

$g^*_{C,rel} = 37$



IG400-7N, 5-stufige Reihen für konstanten CIELAB Buntton 272/360 = 0.755 (links)

Ausgabe: Farbmetrisches Fernseh-Licht-System TLS00a

für Buntton  $h^* = lab^*h = 272/360 = 0.755$

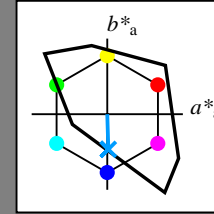
$lab^*tch$  und  $lab^*nch$

D65: Buntton B

LCH\*Ma: 65 49 272

olv\*Ma: 0.0 0.61 1.0

Dreiecks-Helligkeit  $t^*$



TLS00a; adaptierte CIELAB-Daten

	$L^*=L^*_a$	$a^*_a$	$b^*_a$	$C^*_{ab,a}$	$h^*_{ab,a}$
O <sub>Ma</sub>	50.5	76.91	64.55	100.41	40
Y <sub>Ma</sub>	92.66	-20.67	90.75	93.08	103
L <sub>Ma</sub>	83.62	-82.73	79.9	115.02	136
C <sub>Ma</sub>	86.88	-46.14	-13.53	48.1	196
V <sub>Ma</sub>	30.39	76.06	-103.59	128.52	306
M <sub>Ma</sub>	57.31	94.35	-58.39	110.96	328
N <sub>Ma</sub>	0.01	0.0	0.0	0.0	0
W <sub>Ma</sub>	95.41	0.0	0.0	0.0	0
RCIE	39.92	58.74	27.99	65.07	25
J <sub>CIE</sub>	81.26	-2.88	71.56	71.62	92
G <sub>CIE</sub>	52.23	-42.41	13.6	44.55	162
BCIE	30.57	1.41	-46.46	46.49	272

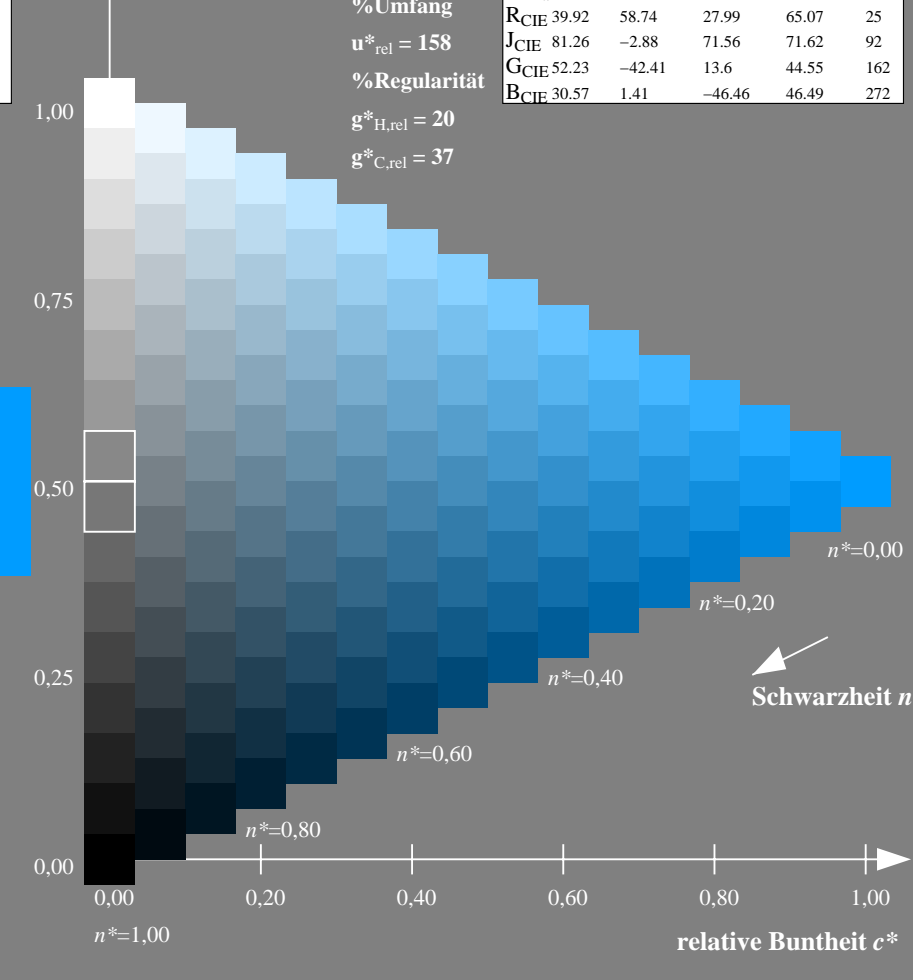
%Umfang

$u^*_{rel} = 158$

%Regularität

$g^*_{H,rel} = 20$

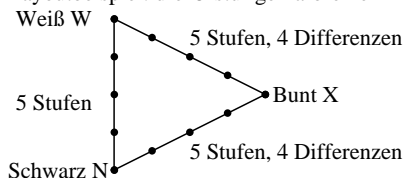
$g^*_{C,rel} = 37$



16-stufige Reihen für konstanten CIELAB Buntton 272/360 = 0.755 (rechts)

### Unterscheidbarkeit von 5-stufigen Farbreihen (Ja/Nein-Entscheidung)

Layoutbeispiel: drei 5-stufige Farbreihen



Es gibt drei Grundfarben auf jeder Seite:  
Schwarz N, Weiß W und Bunt X.  
Zehn Seiten enthalten 10 Bunttonebenen  
X = OYLCVM und RJGB.  
Es gibt maximal 12 unterscheidbare Stufen.

Alle Stufen der drei Serien N-W, W-X und X-N sollen unterscheidbar sein auf **allen** Seiten.  
**Sind die drei 5-stufigen Reihen auf allen Seiten unterscheidbar? unterstreiche: Ja/Nein**  
Nur im Fall von Nein: Sind die drei 5-stufigen Reihen auf Seite x von 10 Seiten unterscheidbar?  
Unterstreiche Ja/Nein und gib im Fall von Nein die Anzahl unterscheidbarer Stufen an  
Seite 1: Ja/Nein, wenn Nein ../12 Stufendifferenzen sind unterscheidbar von O = Orangerot  
Seite 2: Ja/Nein, wenn Nein ../12 Stufendifferenzen sind unterscheidbar von Y = Gelb  
Seite 3: Ja/Nein, wenn Nein ../12 Stufendifferenzen sind unterscheidbar von L = Laubgrün  
Seite 4: Ja/Nein, wenn Nein ../12 Stufendifferenzen sind unterscheidbar von C = Cyanblau  
Seite 5: Ja/Nein, wenn Nein ../12 Stufendifferenzen sind unterscheidbar von V = Violettblau  
Seite 6: Ja/Nein, wenn Nein ../12 Stufendifferenzen sind unterscheidbar von M = Magentarot  
Seite 7: Ja/Nein, wenn Nein ../12 Stufendifferenzen sind unterscheidbar von R = Elementarrot  
Seite 8: Ja/Nein, wenn Nein ../12 Stufendifferenzen sind unterscheidbar von J = Elementargelb  
Seite 9: Ja/Nein, wenn Nein ../12 Stufendifferenzen sind unterscheidbar von G = Elementargrün  
Seite 10: Ja/Nein, wenn Nein ../12 Stufendifferenzen sind unterscheidbar von B = Elementarblau  
Summe: ../10 Ja-Seiten und ../120 Stufendifferenzen unterscheidbar

Teil 1

IG400-3

### Dokumentation von Dateiformat, Hard- und Software für diese Prüfung:

**PDF-Datei:** entweder xxx/IG42/IG42L00NP.PDF oder xxx/IG42/IG42P00NP.PDF **unterstreiche Ja/Nein oder unterstreiche Ja/Nein**  
**PS-Datei:** entweder xxx/IG42/IG42L00NA.PS oder xxx/IG42/IG42P00NA.PS **oder unterstreiche Ja/Nein oder unterstreiche Ja/Nein**

#### benutztes Rechner-Betriebssystem:

nur eines von Windows/Mac/Unix/anderes und Version:.....

**Die Beurteilung ist für die Geräteausgabe: unterstreiche Monitor/Datenprojektor/Drucker**  
Geräte-Modell, -Treiber und -Version:.....

**Geräteausgabe mit PDF/PS-Datei: unterstreiche PDF-/PS-Datei**

#### Für Geräteausgabe mit PDF-Datei IG42(L/P)00NP.PDF:

entweder PDF-Dateitransfer "download, copy" nach PDF-Gerät.....  
oder mit Rechnersystem-Interpretation durch "Display-PS":.....  
oder mit Software, z. B. Adobe-Reader/Acrobat und Version:.....  
oder mit Software, z. B. Ghostscript und Version:.....

#### Für Geräteausgabe mit PS-Datei IG42(L/P)00NA.PS:

entweder PS-Dateitransfer "download, copy" nach PS-Gerät.....  
oder mit Rechnersystem-Interpretation durch "Display-PS":.....  
oder mit Software, z. B. Ghostscript und Version:.....  
oder mit Software, z. B. Mac-Yap und Version:.....

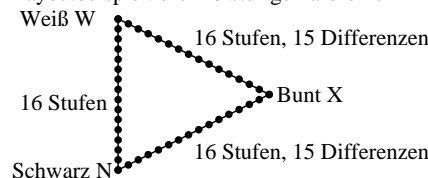
Spezielle Anmerkungen, z. B. Ausgabe von Landschaftsdatei (L) IG42L00NA.PS wurde abgeschnitten, Porträtdatei (P) IG42P00NA.PS wurde benutzt:.....

Teil 3

IG400-5

### Unterscheidbarkeit von 16-stufigen Farbreihen (Ja/Nein-Entscheidung)

Layoutbeispiel: drei 16-stufige Farbreihen



Es gibt drei Grundfarben auf jeder Seite:  
Schwarz N, Weiß W und Bunt X.  
Zehn Seiten enthalten 10 Bunttonebenen  
X = OYLCVM und RJGB.  
Es gibt maximal 45 unterscheidbare Stufen.

Alle Stufen der drei Serien N-W, W-X und X-N sollen unterscheidbar sein auf **allen** Seiten.  
**Sind die drei 16-stufigen Reihen auf allen Seiten unterscheidbar? unterstreiche: Ja/Nein**  
Nur im Fall von Nein: Sind die drei 16-stufigen Reihen auf Seite x von 10 Seiten unterscheidbar?  
Unterstreiche Ja/Nein und gib im Fall von Nein die Anzahl unterscheidbarer Stufen an  
Seite 1: Ja/Nein, wenn Nein ../45 Stufendifferenzen sind unterscheidbar von O = Orangerot  
Seite 2: Ja/Nein, wenn Nein ../45 Stufendifferenzen sind unterscheidbar von Y = Gelb  
Seite 3: Ja/Nein, wenn Nein ../45 Stufendifferenzen sind unterscheidbar von L = Laubgrün  
Seite 4: Ja/Nein, wenn Nein ../45 Stufendifferenzen sind unterscheidbar von C = Cyanblau  
Seite 5: Ja/Nein, wenn Nein ../45 Stufendifferenzen sind unterscheidbar von V = Violettblau  
Seite 6: Ja/Nein, wenn Nein ../45 Stufendifferenzen sind unterscheidbar von M = Magentarot  
Seite 7: Ja/Nein, wenn Nein ../45 Stufendifferenzen sind unterscheidbar von R = Elementarrot  
Seite 8: Ja/Nein, wenn Nein ../45 Stufendifferenzen sind unterscheidbar von J = Elementargelb  
Seite 9: Ja/Nein, wenn Nein ../45 Stufendifferenzen sind unterscheidbar von G = Elementargrün  
Seite 10: Ja/Nein, wenn Nein ../45 Stufendifferenzen sind unterscheidbar von B = Elementarblau  
Summe: ../10 Ja-Seiten und ../450 Stufendifferenzen unterscheidbar

Teil 2

IG401-3

### Dokumentation der Beurteiler-Farbseigenschaften für diese Prüfung:

Der Beurteiler hat **normales** Farbsehen nach einer Prüfung:  
entweder nach DIN 6160:1996 mit Anomaloskop nach *Nagel* **unterstreiche Ja/Nein**  
oder mit Farbpunkt-Prüftafeln nach *Ishihara* **unterstreiche Ja/Nein**  
oder mit, bitte nennen:..... **unterstreiche Ja/Nein**

#### Nur für Display(Monitor, Daten-Projektor)-Ausgabe:

Büro-Arbeitsplatz-Beleuchtung ist Tageslicht (bedeckter/Nordhimmel) **unterstreiche Ja/Nein**  
PDF-Dateiausgabe mit xxx/IG43/IG43L0NP.PDF **unterstreiche Ja/Nein**  
Vergleich Kontrastbereich der 16 Stufen F bis 0 mit Prüfvorlage Anhang B von ISO 9241-306:2009  
Nenne Kontrastbereich: (>F:0) (F:0) (E:0) (D:0) (C:0) (A:0) (9:0) (7:0) (5:0) (3:0) (<3:0)  
*Anmerkung: Bei Tageslichtbürobeleuchtung ist der Kontrastbereich oft:*  
*auf Papier zwischen: >F:0 (Hochglanz), F:0 (Seidenglanz) und E:0 (Matt)*  
*am Display zwischen: >F:0 und E:0 (Monitor), D:0 und 3:0 (Datenprojektor)*

#### Nur für optionale farbmetrische Kennzeichnung mit PDF/PS-Dateiausgabe

**PDF-Datei:** entweder xxx/IG41/IG41L0NP.PDF oder xxx/IG41/IG41P0NP.PDF **unterstreiche Ja/Nein**  
**PS-Datei:** entweder xxx/IG41/IG41L0NA.PS oder xxx/IG41/IG41P0NA.PS **oder unterstreiche Ja/Nein**  
**oder unterstreiche Ja/Nein**

#### Farbmessung und Kennzeichnung für:

CIE-Normlichtart D65, CIE-2-Grad-Beobachter, CIE-45/0-Geometrie **unterstreiche Ja/Nein**  
Wenn Nein, bitte andere Parameter nennen: .....

#### Farbmetrische Kennzeichnung mit PS-Datei für Farben der Spalten A bis T

Ersatz der CIELAB-Daten in Datei xxx/IG47/IG47L0NP.PS und Transfer  
der PS-Datei IG47L0NP.PS in PDF-Datei IG47L0NP.PDF **unterstreiche Ja/Nein**  
Wenn Nein, bitte andere Methode beschreiben: .....

Teil 4

IG401-5